

بررسی آثار نیتریک اکساید بر تغییرات کمی و کیفی رحم موشهای صحرایی باردار

*** سید محمد حسین نوری موگهی Ph.D.، مهندس آذرنا M.Sc.، فرگس قبه مهاجر

* دانشیار گروه بافت‌شناسی دانشکده پزشکی دانشگاه علوم پزشکی تهران

** استادیار گروه بافت‌شناسی دانشگاه تربیت معلم

*** دانشجوی کارشناسی ارشد گروه زیست‌شناسی دانشگاه آزاد اسلامی واحد شمال

تاریخ وصول: اسفند ماه ۸۲، تاریخ پذیرش: اردیبهشت ماه ۸۳

چکیده

هدف: بررسی تغییرات کیفی و کمی رحم موش پس از تزریق L-Arg (L-A) به عنوان سنتزکننده نیتریک اکساید (NO: Nitric oxide) با عنوان بازدارنده سنتز و L-Name (L-N) به عنوان بازدارنده سنتز

مواد و روشها: ۲۰ سر موش از نژاد Sprague Dawley با سن ۸ هفته، وزن ۲۵۰-۲۰۰ گرم، یک هفته در شرایط حیوانخانه قرار گرفتند. با مشاهده پلاک واژینال موشهای باردار به صورت جداگانه، در ۴ گروه ۵ تایی شامل کنترل، نرمال سالین، L-A و L-N قرار گرفتند. تزریق L-A و L-N در روزهای سوم، چهارم و پنجم بارداری به روش ip انجام شد. در روز چهاردهم بارداری پس از بیهوشی با اتر و لاپاراتومی. رحم مادران خارج و پس از توزین در فرمالین ده درصد ثبیت شد و سپس آماده‌سازی، قالبگیری و برش‌گیری انجام شد. برشهای در مقاطع ۱-۲ میکرونی تهیه و با هماتوکسیلین - اثوزین رنگ‌آمیزی و بررسی شدند.

یافته‌ها: براساس نتایج که اختلاف معنی‌داری بین گروههای L-A و L-N در وزن رحم، حجم رحم، ضخامت آندومتر و میومتر و دیواره رحم نسبت به گروه کنترل وجود دارد ($p < 0.01$). در گروه L-N افزایش متغیرها نسبت به گروه کنترل مشاهده شد.

نتیجه گیری: تزریق L-N و L-A در روزهای سوم، چهارم و پنجم بارداری باعث تغییرات کمی و کیفی در رحم موشها شد که می‌تواند روی بارداری تأثیر بگذارد.

کلید واژه: نیتریک اکساید، رحم، مطالعه مورفومنتری

مقدمه

NO به وسیله سلولهای مختلف در همه جای بدن از L-Arg ساخته می‌شود و در تمام سلولهای ماهیچه صاف، سلول مزانشیال کلیه، نورونهای دستگاه عصبی، پلاکتهای خون، هپاتوسیتها، ماکروفازها، فیبروپلاستها و سلولهای اپی‌تیال و در سلولهای ایمنی تولید می‌شود. تحقیقات متعدد نشان داده است که این ماده، یکی از عوامل قوی انبساط عروق است [۱].

مارلتا (Marletta) و همکارانش در سال ۱۹۸۸ گزارش کردند که ماکروفازها، نیتریت و نیترات را از L-آرژینین تولید می‌کنند و اسید آمینه آرژینین منبع نیتریک اکساید داخلی (آندوژن) است [۲]. همه ایزوفرمهاي نیتریک اکساید - سنتاز

در دهه گذشته نیتریک اکساید (NO) به عنوان مولکولی که به طور برجسته و مهم، بیولوژی و فیزیولوژی سیستم تولید مدل را تعیین می‌کند شناخته شده است [۱]. در سال ۱۹۹۲ با توجه به تحقیقات متعدد، مجلات عملی آن زمان نیتریک اکساید (NO) را مولکول سال نامیدند. نیتریک اکساید (NO) مولکول لپوفیل کوچکی با نیمه عمر ۳ تا ۵ ثانیه است، قابلیت انتشار و فعالیت شدیدی دارد که نقش دوگانه فیزیولوژیک و پاتوفیزیولوژیک از خود بروز می‌دهد [۲].

آدرس مکاتبه: تهران، دانشگاه علوم پزشکی تهران، گروه بافت‌شناسی
صندوق پستی ۱۴۱۵۵-۶۴۴۷ Email: NooriMoog@hotmail.com

تمام مراحل دیگر چرخه استروس مقایسه شده است و در طول پرواستروس در لوله رحمی نسبتاً پایین است. به هر حال لوله‌های رحمی نقش مؤثر و حیاتی را برای بارور سازی و رشد جنین اولیه ایفاء می‌کند و ممکن است که نیتریک اکساید (No) نقش مؤثری را در پیشرفت چنین فرایندی ایفا کند [۱۷]. نقش نیتریک اکساید در تنظیم قابلیت انقباض لوله رحمی توسط رسلى (Rosselli) و همکارانش در سال ۱۹۹۴ گزارش شده است [۱۹].

در مقایسه با وضعیت فیزیولوژیکی، سنتز نیتریک اکساید در محدوده لوله رحمی یا رحم ممکن است تحت شرایط پاتوفیزیولوژیکی معین، نظیر عفونت افزایش یابد و ممکن است به طور آشکار به کاهش بارورسازی از طریق آثار سُمی روی اسپرماتوسیت یا روی تخم منجر شود. به علاوه تولید اضافی نیتریک اکساید ممکن است ضربان مویرگی را تحت تأثیر قرار داده و در نتیجه جنین حرکت کرده و به سقط جنین منجر شود [۲۰]. نیتریک اکساید، انقباض سلولهای ماهیچه صاف و انقباض خودبه‌خودی و همچنین انبساط رحم در طول بارداری را تنظیم می‌کند [۱۶، ۲۱ و ۲۲]. به غیر از دیواره عروق و نورونها، وجود NOS در اپی‌تلیوم غده‌ای، سلولهای بافت آندومتری و سلولهای ماهیچه صاف میومتری شناسایی شده است، با توجه به اینکه نیتریک اکساید نقش موضعی در کنترل بافت رحمی ایفا می‌کند [۲۳]، سنتز موضعی نیتریک اکساید در محدوده رحم ممکن است در تنظیم فعالیت میومتری نظیر انقباض خودبه‌خودی رحم مهم باشد [۲۴]. طبق تحقیقات انجام شده گزارش شده که No روی دیواره رحم آثار متعددی دارد. بنابراین تحقیق حاضر آثار L-Name به عنوان باز دارنده سنتز نیتریک اکساید و L-Arg به عنوان سنتز کننده No بر وزن رحم و حجم رحم و ضخامت آندومتر و میومتر و دیواره رحم بررسی شد.

مواد و (وشها)

۲۰ سر موش ماده از نژاد Sprague Dawley با محدوده وزنی ۲۰۰-۲۵۰ گرم و متوسط سن ۸ هفتگی انتخاب و به منظور تطبیق با شرایط حیوانخانه به مدت یک هفته در

(NOS)^۱ قادرند L-آرژینین را به L-سیترولین تبدیل کنند و سپس نیتریک اکساید (NO) آزاد کنند [۵]. طبق تحقیقات قبلی N-L بازدارنده سنتز NO است [۶].

پالمر (Palmer) و همکارانش در سال ۱۹۸۸ گزارش کردند که نیتریک اکساید از L-آرژینین تولید می‌شود [۷].

در سال ۲۰۰۱، سالومینی (Salvemini) مسیر بیوستز NO را نشان داده و اظهار نمود که نیتریک اکساید نیم عمر کوتاهی داشته و در پایان به محصولات غیرفعال نیتریت و نیترات تبدیل می‌شود [۸].

لانه‌گزینی جنین یک پروسه بحرانی در زمان بارداری است. در حقیقت لانه‌گزینی موفقیت‌آمیز بلاستوسیت‌ها در نتیجه همزمانی بین تکامل جنین و ترانسفورماتیون آندومتر به دسیدوا (یک بافت عروقی فشرده که جنین را کپسوله می‌کند) است. فاکتورهای مسئول انتقال سلولهای آندومتر به دسیدوا هنوز به طور کامل مشخص نشده است [۹ و ۱۰].

سه ایزوفرم مشابه از نیتریک اکساید سنتاز (NOS) وجود دارد؛ ایزوفرمهای نورونال (nNOS)، قابل القاء (iNOS) که برای فعال شدن به کلسیم و کالمودولین نیاز دارد و ایزوفرم سوم آن اندوتیال (eNOS) است که برای فعال شدن نیاز به کلسیم ندارد [۵]. ایزوفرمهای (nNOS) و (eNOS) تحت اثر ترانسمیترهایی که غلظت Ca^{2+} درون سلولی را افزایش می‌دهند شامل استیلکولین و برادیکنین، فعال می‌شوند [۱۱ و ۱۲]. فعالیت و ظهور پروتئینهای اندوتیوم (eNOS) در رتهای بالغ بیشتر از رتهای مسن است [۱۳ و ۱۴]. ایزوفرم (eNOS) نزدیک تولد جنین به حداقل می‌رسد [۱۵].

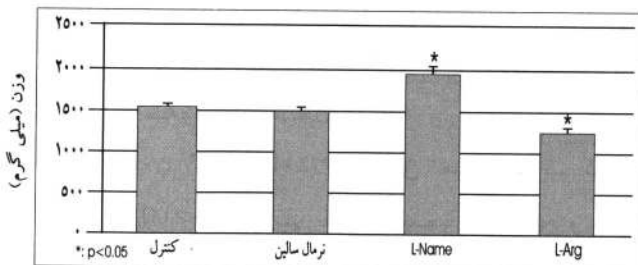
نقش نیتریک اکساید در تنظیم پاتوفیزیولوژی و بیولوژی رحم توجه شدیدی را به خود جلب کرده است [۱۶ و ۱۷].

در لوله‌های رحمی، تشديد انقباضات ناشی از اندوتیلین در حضور L-Name اولین شواهد حضور کارکرد فیزیولوژیک No در تنظیم عملکرد لوله‌های رحمی را به دست می‌دهد [۵] برایانت (Brayant) و همکارانش در سال ۱۹۹۵ گزارش کردند که ایزوفرمهای مشابه از نیتریک اکساید سنتاز (NOS)، در لوله‌های رحمی گاو و انسان وجود دارند که برای فعال شدن به کلسیم نیاز دارند [۱۸]. فعالیت نیتریک اکساید سنتاز (NOS) در

و با بزرگنمایی ۴ برابر انجام شد. ناحیه اندازه‌گیری شامل ضخامت بافت دیواره رحم در گروههای کنترل، نرمال سالین، L-Arg، L-NAME بود (شکل ۲۰). برای این منظور ضخامت مقاطع عرضی بافت دیواره رحم اندازه‌گیری و ثبت شد. به عبارت دیگر در هر یک از ۴ گروه، کنترل، نرمال سالین، L-N Arg، L-NAME ضخامت آندومتریوم (E)^۱، میومتریوم (M)^۲ و پری‌متریوم (P)^۳ + میومتریوم (M) + آندومتریوم (E) اندازه‌گیری شد و سپس مورد ارزیابی قرار گرفت. برای انجام بررسیهای آماری از برنامه SPSS Version 11.5 و آزمون Tukey و آنالیز واریانس یک طرفه استفاده شد.

یافته‌ها

وزن رحم: تعیین ارتباط گروهها به وسیله آزمون تحلیل واریانس یک طرفه (OneWay ANOVA)، اختلاف معنی‌داری بین گروهها نشان داد ($p < 0.01$). در بررسی دو به دو گروهها با معیار LSD و HSD در سطح $p < 0.05$ اختلاف معنی‌داری میان گروه کنترل و گروههای L-N و L-A همچنین میان گروه نرمال سالین و گروههای A و L-N مشاهده شد (نمودار ۱).



نمودار ۱. مقایسه توزیع وزن رحم (برحسب میلی‌گرم) در گروههای مورد مطالعه ($N = 20$)
*: $p < 0.05$

حجم رحم: تعیین ارتباط گروهها به وسیله آزمون تحلیل واریانس یک طرفه (OneWay ANOVA)، اختلاف معنی‌داری بین گروهها نشان داد ($p < 0.01$). در بررسی دو به دو گروهها با معیار Tukey HSD اختلاف معنی‌داری میان گروه

شرایط یکسان قرار گرفته و قبل از آمیزش هر گروه از موشها در قفس جدگانه قرار داده شدند. ساعت ۶ بعدازظهر موشها در هر قفس به نسبت دو ماده و یک نر قرار داده تا جفت‌گیری انجام گیرد، در ساعت ۶ صبح روز بعد نرها را از ماده‌ها جدا کرده و پس از بررسی و مشاهده پلاک واژینال. موشهای باردار برای انجام آزمایش در نظر گرفته شده و از این روز به عنوان روز صفر بارداری در نظر گرفته شد. با توجه به وزن حیوان به ازای هر کیلوگرم مقدار ۲۰۰ میلی‌گرم پودر (Sigma, U.S.A) L-Arg و همچنین به ازای هر کیلوگرم مقدار ۲۰۰ میلی‌گرم پودر (RBI, U.S.A) L-NAME فیزیولوژی حل شده و محلولهای مذکور با استفاده از سرنگهای دو میلی‌لیتری در روزهای سوم و چهارم و پنجم بارداری به گروه ۵ تایی به صورت زیر تقسیم‌بندی شد.

- ۱- گروه کنترل که هیچگونه ماده دریافت نکردند.
- ۲- گروه نرمال سالین که به میزان ۱ mg/kg نرمال سالین (حلال) دریافت کردند.
- ۳- گروه L-NAME که به میزان ۱ mg/kg آنتیم دریافت کردند.
- ۴- گروه L-Arg که به میزان ۱ mg/kg اسید آمینه آرژینین دریافت کردند.

در روز ۱۴ بارداری، هر یک از موشها ماده مورد آزمایش توزین شدند. سپس به وسیله اتر بیهوش و پس از لاپاراتومی تعداد جنینها شمارش گردید. پس از آن رحم مادران خارج، حجم و وزن آنها اندازه‌گیری شد. نمونه‌های برای بررسی‌های بافتی در فرمایین ۱۰ درصد تثبیت و برای آماده‌سازی بافتی به دستگاه اوتونکنیکون انتقال داده شده نمونه‌ها در پارافین قالب‌گیری شده و قالب‌های پارافینی پیرایش شد (Trimming) و روی میکروتوم دوار سوار شده و برش‌گیری انجام شد. ضخامت مقاطع ۱-۲ میکرونی بود. لامها توسط هماتوکسیلین وائزین رنگ‌آمیزی و برای ارزیابی میکروسکوپی آماده شدند.

مطالعات مورفومتری

مورفومتری با استفاده از گراتیکول (عدسی مدرج چشمی)

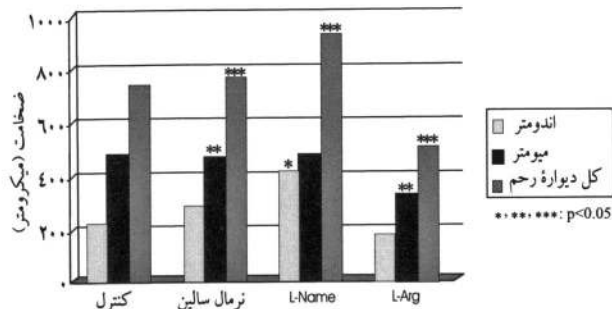
1- Endometrium

2- Mgometrum

3- Perimetrum

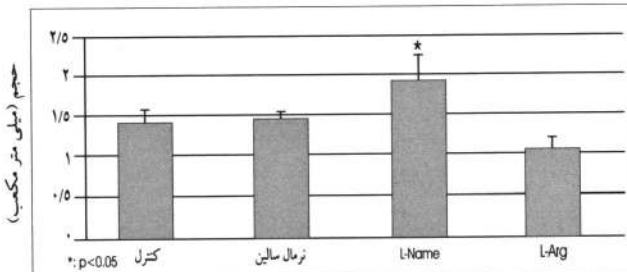
Brown-Forsythe نیز این مطلب را تأیید کرد.

در بررسی دو به دو گروهها با معیار LSD در سطح 0.05% اختلاف معنی داری میان گروه کنترل با گروههای L-A و L-N و همچنین میان گروه نرمال سالین با گروههای A-L و N-L دیده شد ($p<0.05$) (نمودار ۳).



نمودار ۲. مقایسه توزیع حجم رحم (برحسب میلی متر مربع) در گروههای مورد مطالعه ($N=20$)

کنترل و گروه N-L، دیده شد ($p<0.05$) (نمودار ۲).



نمودار ۳. مقایسه توزیع ضخامت اندومتر (برحسب میکرومتر) در گروههای مورد مطالعه ($N=20$)

اندومتر: بررسی اندازه ضخامت اندومتر برای تعیین ارتباط گروهها به وسیله آزمون تحلیل واریانس یک طرفه (OneWay-ANOVA) اختلاف آماری معنی داری بین گروهها نشان داد ($p<0.01$). بررسی فوق با معیارهای Welch و Fornessی (Brown-Forsythe و Welch) نیز این مطلب را تأیید کرد.

در بررسی دو به دو گروهها با معیار LSD و Tukey HSD اختلاف معنی داری میان گروه کنترل با گروه L-N و همچنین میان گروه N-L با گروه کنترل و L-A و به علاوه میان گروه L-A و L-N مشاهده شد ($p<0.05$) (نمودار ۳).

میومتر: بررسی اندازه ضخامت اندومتر برای تعیین ارتباط گروهها به وسیله آزمون تحلیل واریانس یک طرفه (OneWay-ANOVA) اختلاف آماری معنی داری بین گروهها نشان داد ($p<0.01$). بررسی فوق با معیارهای Welch و Fornessی (Brown-Forsythe و Welch) نیز این مطلب را تأیید کرد.

در بررسی دو به دو گروهها با معیار LSD و Tukey HSD صحیح اختلاف معنی داری میان گروه کنترل با گروه L-A و همچنین میان گروه نرمال سالین با گروه L-A مشاهده شد ($p<0.05$) (نمودار ۳).

کل دیواره: بررسی اندازه ضخامت اندومتر برای تعیین ارتباط گروهها به وسیله آزمون تحلیل واریانس یک طرفه (OneWay-ANOVA) اختلاف آماری معنی داری بین گروهها نشان داد ($p<0.01$). بررسی فوق با معیارهای Welch و

نتایج حاصل از این تحقیق نشان می دهد که تزریق مکرر مهارگر L-NAME (مهارگر NOS) باعث افزایش وزن و حجم رحم، ضخامت آندومتر، میومتر و دیواره رحم می شود؛ در حالی که تزریق مکرر L-Arg (القاکننده NOS) آثار معکوس ایجاد نمود.

نیتریک اکساید سنتاز اندولیالی (eNOS) و القایی (iNOS) در بافت‌های تولید مثلی انسانی از جمله تخدمان، میومتر و اندومتر در طول دوره قاعده‌گی و بارداری مشاهده شده‌اند [۲۵].

از آنجایی که افزایش فعالیت این آنزیم منجر به افزایش تولید NO شده و کاهش آن، NO را می‌کاهد، بنابراین دستکاری در فعالیت این آنزیم به واسطه مهارگرها و القاکننده‌ها می‌تواند آثار بارزی بر فعالیت و وضعیت آناتومیک اجزای این سیستم از جمله رحم بگذارد.

اثرهای No شامل واژودیلاتاسیون، مهار تجمع پلاکتی و سرکوب پرولیفراسیون سلولهای عضله صاف است که L-NAME این آثار را معکوس می نماید [۲۶] و بارزترین آنها را می توان به شکل افزایش پرولیفراسیون مشاهده کرد. از طرفی مشاهده شده است که اضافه کردن L-Arg آپوپتوز سلولهای اپی‌تلیال را افزایش می دهد؛ این اثر توسط دیگر مهار کننده

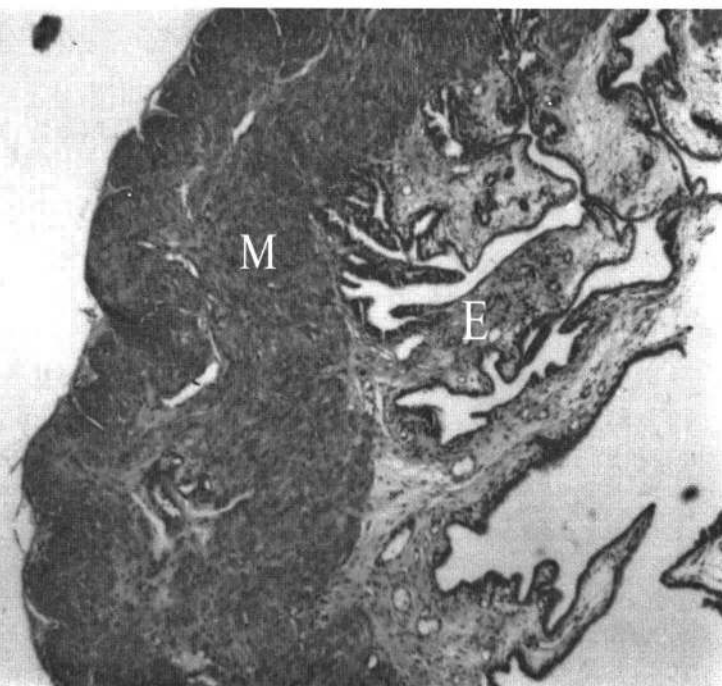
اکلامپسی به وجود می‌آورد. شاید بتوان پریاکلامپسی را نیز به عنوان نتیجه عدم توازن فعالیت NOS معرفی کرد [۲۷ و ۲۸]. براساس مطالعه حاضر می‌توان گفت که نیتریک اکساید به عنوان حاصل فعالیت NOS، نقش قابل ملاحظه‌ای در تنظیم ضخامت لایه‌ها، وزن و حجم رحم بازی می‌کند و در صورت اختلال می‌تواند منجر به بیماری و تغییرات موضعی و سیستمیک شود که حاصل آنها می‌تواند سقط جنین باشد.

(L-NAMA) NOS معکوس می‌شود [۲۵]. بنابراین شاید بتوان کاهش آپوپتوز و افزایش پرولیفراسیون سلولی در اثر مهار NOS را به عنوان دلیلی بر افزایش ضخامت لایه‌های رحمی ارایه نمود که می‌تواند در اثر L-Arg معکوس شود. تغییرات مشاهده شده دیگر نیز احتمالاً نتیجه غیرمستقیم L-NAME تغییر ضخامت لایه است. افزایش ضخامت در اثر L-NAME حتی می‌تواند منجر به افزایش وزن و حجم نیز بشود. از آنجا که اثر مزمن L-NAME در رحم، حالت شبه پری

References

- ناصری محمد. نیتریک اکساید در سلامت و بیماری. دانشگاه علوم پزشکی تهران، دانشکده پزشکی، گروه بیوشیمی، کنگره بیوشیمی، بهمن ۱۳۸۲
- مهروز عبدالکریم. انصاری محمد. شریف تبریزی احمد، وردابی صفورا، انصاری احمد. بررسی اثر عصاره آبی دانه اکلیل الملک (Melilotus Officinalis) بر تولید نیتریک اکساید (NO) در محیط کشت سلولهای فیبروسارکوم تحريك شده با لیپوساکارید . (LPS). دانشگاه علوم پزشکی تهران، دانشکده پزشکی، گروه بیوشیمی، کنگره بیوشیمی، بهمن ۱۳۸۲
- وردابی صفورا. شعبانی محمد. انصاری محمد. میرصالحیان اکبر. نوری موغه‌ی سیدمحمد. بررسی اثر گروه عفونی نرمال در Rat. دانشگاه علوم پزشکی تهران، دانشکده پزشکی، گروه بیوشیمی، کنگره بیوشیمی، بهمن ۱۳۸۲
- Marletta MA, Yoon PS, Iyengar R. Macrophage oxidation of L- Arginine to nitrite and nitrat: nitricid is an intamediate. Biochemistry 1988; 27: 8706-8711.
- Rosselli M, Paul J, Keller C, Raghvendra K. Role of nitric oxide in the biology, Physiology and pathophysiology of Reproduction. Hum Reprod Update 1998; 4(1): 3-24.
- Parker TA, Le cars TD, kinsella JP, Abman SH. Development change in endothelial nitric oxide synthase expression and activity in ovine fetal lung. 2000; 278(1): 202-8.
- Palmer RMJ, Ashton DS, Moncada S. Vascular endothelial lial cells synthesize nitric oxide from L-Argrginine. Nature 1988; 33: 664-8.
- Salvemini D, Billiar TR. Nitric oxide and inflammation. Biochem Biophys Res Commun 2001; 2: 68-70.
- Novaro V, Gonzlez E, Jaweroaum A, Rettori V, Canteros G, Gimeno F. Nitricoxide synthase regulation during embryonic implantation. Biol Chem 1997; 9: 557-64.
- Konneuy TG, Lukash LA. Induction of decidualization in rats by the intrauterine fusion of prostaglandins. Clin Chem Acta 1998; 27: 253-60.
- Forster man UP, Pollock JS. nitric oxide synthase isozymes characterization, purification, molecular cloning and functional hyperten. 1994; (23): 1121-39.
- Ganong F. Nitric oxide synthase activities in rat myocardium. Rev Med Physiol 1999; 19: 569-70.
- Chou TC. Alteration of nitric oxide synthase expression with again and hypertension in rats. 1998; 31: 643-8.
- Ventura S, Burnstock G. variation in nitric oxide synthase immuno reactive nerve fibress with age and along the length of the vasdeferens in the rat. 1996 (sep); 285(3): 427-34.
- Gregg AR, Schauer A, Shi O, Liu Z, Lee G, Obrien E. Limb reduction defects in endothelial nitric oxide synthase-deficient mice. Biol Reprod 1998; 275: 2319-24.
- Azuma H, Obayashi S, Hamasaki H. Role of endothelium in human uterine arteries during normal menstrual cycle. Br J Phamcol 1995; 114: 902-908.
- Rosselli M, Im thurn B, Macas E. Circulating nitrite/nitrat increase with follicular development: indirect evidence for estradol mediated release. Biochem Biophys Res Commun 1994a; 202: 1543-52.

18. **Brayant EC, Tomlinson A, Mitchell JA.** nitric oxide synthase in the rat fallopian tube is regulated during the oestrous cycle. *J Endocrinol* 1995; 146: 149-57.
19. **Rosselli M, Imthurn B, Macas E.** Endogenous nitric oxide modulates endothelin-1 Induced contraction in bovine oviduct. *Biochem. Biophys Res Commun* 1994b; 201: 143-48.
20. **Rosselli M, Dubey PK, Rosselli MA.** Identification of nitric oxide in human and bovine oviduct. *Mol Hum Reprod* 1996; 2: 607-12.
21. **Magness PR, Rosenfeld CR, Hassan A, Shaul PW.** endothelial vasodilator production by uterine and systemic arteries. Effects of Ang II on PGI2 and NO in pregnancy. *Am J Physiol* 1996; 270: 1914-23.
22. **Veille JC, Li P, Eisenach JC.** Effects of estrogen on nitric oxide biosynthesis and vasorelaxant activity in sheep uterine and renal arteries in vitro. *Fert Steril* 1996; 174: 1043-9.
23. **Dong YL, Yallampalli C.** Interaction between nitric oxide and prostaglandin E2 path ways in pregnant rat uterus. *Am J Physiol* 1996; 270: 471-6.
24. **Sladek SM, Magness RR, Conrad KP.** Nitric oxide and pregnancy. *Am J physiol Reg Integ Comp physiol* 1997; 41: 441-6.
25. **Cecilia J, Meligueo M, Angelica M, Villavicencio A, Vantman D, Vega M.** Differential in vitro actions of nitric oxide on human endometrial cell survival. *Fertil Steril* 2004; 81: 176-84.
26. **Vural P.** Nitric oxide endothelin-1 in preeclampsia. *Clin Chem Acta* 2002; 317: 65-70.
27. **Ranta V, Vinikka L, Halmesmaki E, Ylikorkala O.** Nitric Oxide Production With Preeclampsia. *Obstet Gynecol* 1998; 8: 465-7.
28. **Duane T.** Nitric Oxide Dysfunction in the pathophysiology of Preeclampsia. *Biol Chem* 2000; 4(4): 441-58.



۱. شکل ۱. نمایی از مقطع قسمتی از بافت دیواره رحم گروه L-NAME شامل سه لایه پری متريوم، ميو متريوم (M)، آندومتریوم (E). رنگآمیزی: H&E. بزرگنمایی: $\times 4$.

۲. شکل ۲. نمایی از مقطع قسمتی از بافت دیواره رحم گروه Arg-L-NAME شامل سه لایه پری متريوم، ميو متريوم (M)، آندومتریوم (E). رنگآمیزی: H&E. بزرگنمایی: $\times 4$.

